# دراسة تأثير تركيز الكادميوم على الخواص البنيوية والضوئية للزجاج الشالكوجيني ثلاثي المكونات Ge-Te-Cd

د. إياد مدور\*

#### الملخص

يقدم هذا العمل دراسة شاملة للخواص البنيوية والضوئية لأغشية محضرة من المركب الشالكوجيني  $CeTe_{2-\chi}Cd_{\chi}$  باستخدام طريقة التبخير الشالكوجيني  $GeTe_{2-\chi}Cd_{\chi}$  باستخدام طريقة التبخير الحراري. جرى تحضير المركبات المدروسة بطريقة الصهر المباشر لها في الخلاء، ومن ثم الاسقاء في ماء ثلجي. أجري فحص أولي للعينات المدروسة باستخدام تقنية الأشعة السينية، حيث أظهرت النتائج أن هذه العينات تمتلك بنى متعددة التبلور. أظهرت نتائج دراسة طبوغرافية السطح للأغشية المحضرة تشكل حبيبات ذات أقطار متزايدة، ويزداد قطر هذه الحبيبات بازدياد تركيز الكادميوم.

دُرس طيف النفانية وحُدد عرض المجال المحظور لجميع العينات في المجال mm (400-1500)، وتبين أن عرض المجال المحظور يزداد بازدياد تركيز الكادميوم. كما وحسبت طاقة أيرباخ ولوحظ تتاقصاً في قيمها، وفسر ذلك بازدياد البنية البلورية للعينات المدروسة. حُددت أيضاً قرينة الانكسار، ومعامل التخامد، والجزء الحقيقي والتخيلي لثابت العزل.

الكلمات المفتاحية: مركب شالكوجيني، فجوة طاقية، قطر الحبيبات، طاقة ايرباخ، قرينة الانكسار، معامل التخامد.

<sup>\*</sup> قسم الفيزياء - كلية العلوم- جامعة دمشق.

# Investigation of the Cd concentration upon the structure and optical properties of the Ge-Te-Cd chalcogenide thin films

Dr. Iad Mdawar\*

#### **Abstract**

This work presents a comprehensive study of the structural and optical properties of thin films prepared from chalcogenide composition  $GeTe_{2-\chi}Cd_{\chi}$  where (x=0.2,0.4,0.6,0.8,1) by using method of thermal evaporation. Compounds were prepared in a direct melting method and then removed in ice water. A preliminary examination of samples doing by XRD diffractions, These samples have a poly crystalline structure. The results of topography study of prepared films showed that grains with increasing diameter were increased and the diameter of these grains increased with increasing cadmium concentration.

The transmission spectra was studied and the width of band gap for all samples determined in the rang (400-1500nm). The width of band gab was increase by increasing the concentration of cadmium, and the Urbach Energy was calculated and a decrease in its values was observed, this was explained by the increase of crystalline structure of studied samples. The refractive index is also determined, and The coefficient of extension, and the real and imaginary part of the dielectric constant.

**Key words:** Chalcogenide Composition, Energy gap, Ureabach Energy, Refractive index, Extinction index.

124

<sup>\*</sup> Department of physics, Faculty of Science, University of Damascus, Syria.

#### مقدمة:

تعد المواد الشالكوجينية الزجاجية (ChG,s)، ذات أهمية كبيرة من وجهتي نظر الفيزياء ولتقانة التطبيقية، حيث يمكن استخدامها في الأجهزة الكهروضوئية (التصوير الضوئي، الخلايا الشمسية، الألياف البصرية) والذواكر بنوعيها الكهربائي والضوئي ( DVD، ) PRAM، وفي تصنيع بعض أنواع الترانزستورات (TFT)، ومدخرات الأفلام الرقيقة، وتطبيقات كثيرة أخرى. لذلك تم مؤخراً توجيه الاهتمام بشكل كبير لدراسة الخواص الفيزيائية والكهربائية والضوئية والحرارية لهذه المواد. كما تجمع هذه المواد بين خواص المواد الزجاجية والمواد نصف الناقلة البلورية [2-1].

تستخدم (ChG,s) (recording materials in the phase change optical discs) [3]. والأطوار ضوئياً (recording materials in the phase change optical discs) تغيرات الأطوار ضوئياً (recording materials in the phase change optical discs) كما وأنه من بين النتوع الهائل للمواد الشالكوجينية الزجاجية تأتي المواد التي أساسها في طليعة المواد التي تم الاهتمام بها في تطبيقات ذواكر التحولات الطورية (PCMs) في طليعة المواد التي تم الاهتمام بها في تطبيقات ذواكر التحولات الطورية. إضافة المبنية على خاصية القدح الكهربائي أو الضوئي بين الحالتين الأمورفية والبلورية. إضافة لذلك تستخدم الجملة Ge-Te كنموذج للكثير من السبائك المستخدمة في الصناعة. الخواص الكهربائية والضوئية [4,5]، ولكن تبقى الجمل الثنائية لها بعض المعوقات التي الخواص الكهربائية والضوئية إلى إضافة مكون ثالث لمصفوفة التيليريوم يمكن أن يؤدي إلى تغيرات ملحوظة في معظم خواصها، وبالتالي إن إضافة عنصر Cd إلى الجملة Ge-Te يمكن أن يغير مجال التشكل الزجاجي له، وربما يشكل عشوائية مرغوبة في تركيبه وترتيبه تؤدي بدورها لإحداث تغير كبير في الخواص البنيوية والالكترونية والفيزيائية والضوئية والحرارية [6-5].

#### إياد مدور

#### طيف الامتصاص الضوئى:

يحتوي طيف حافة الامتصاص الضوئي لنصف الناقل الامورفي ثلاث مناطق مختلفة [8]: منطقة الامتصاص العالية:  $\alpha \geq 10^4 cm^{-1}$  والتي توافق الانتقال الضوئي بين حزمة التكافؤ وحزمة الناقلية والذي يكافئ عرض الفجوة الطاقية ويعطى معامل الامتصاص في هذه المنطقة بعلاقة علاقة Tauc:

$$\alpha(hv) = B(hv - E_g)^P \dots \dots (1)$$

حيث  $E_{\rm g}$  عرض الفجوة الطاقية، B ثابت يتعلق بذيل الحزمة، P=1/2 من أجل الانتقالات المباشرة المسموحة، P=2/3 من أجل الانتقالات المباشرة المسموحة غير المباشرة، P=3 من أجل الانتقالات المسموحة غير المباشرة، P=3 من أجل الانتقالات المسموحة غير المباشرة. المنطقة الأسية:  $10^2 \leq \alpha \leq 10^4 cm^{-1}$ ) التي تسمى منطقة الذيل الأسي لأورباخ ويكون فيها معامل الامتصاص تابعاً أسياً لطاقة الفوتون [9]، ويعطى بالعلاقة:

$$\alpha(hv) = \alpha_0 exp\left(\frac{hv}{E_u}\right) \dots \dots (2)$$

حيث  $a_0$  ثابت،  $a_0$  عرض ذيل الحزمة للحالات المتموضعة، حيث أن الامتصاص في هذه المنطقة يحدث بسبب الانتقالات بين الحزم الممتدة في إحدى العصابات والحالات المتموضعة في الذيل الأسي للعصابة الأخرى [10]. بأخذ لوغارتم طرفي العلاقة ورسم تغيرات  $\ln(a.hv)$  بدلالة  $\ln(a.hv)$  نجد أن مقلوب الميل أو عرض الحافة الأسية  $\ln(a.hv)$  إلى عرض ذيل الحزمة الأكثر امتداداً، وغالباً مايسمي طاقة أورباخ. مثل هذه الحافة

يشير عادة إلى الحالات المتموضعة عند حواف الحزمة، بمعنى أخر إن طاقة أورباخ تحدد بواسطة درجة العشوائية أو العيوب البنيوية في مادة نصف الناقل [11].

المنطقة الطيفية:  $10^2 cm^{-1}$  وهي منطقة امتصاص الطاقة المنخفضة وتتتج من العيوب والشوائب وتعزى هذه المنطقة إلى حدوث انتقالات في داخل الحزم في المستويات الذيلية.

#### 2-1مواد البحث وطرائقه:

#### تحضير العينات:

تم تحضير خلائط الجملة  $Cotecnote{Te}_{2-\chi}Cd_{\chi}$  على شكل قطع ( $totecnote{5}$ )، بطريقة الصهر المباشر لها في الخلاء، حيث تم أخذ مواد خام ذات نقاوة عالية هي (purity 99.99 % % وضعت في (purity 99.99)، وزن كل منها بواسطة ميزان حساس بدقة  $totecnote{10}$  ثم وضعت في أنبوب من الكوارتز. وبعدها تم لحم الأنبوب تحت ضغط منخفض ( $totecnote{10}$  ومن ثم سخنت العينات حتى الدرجة  $totecnote{10}$  ولمدة 12 ساعة مع التحريك المنتظم للحصول على أفضل تجانس ممكن ثم اسقائها في مزيج من الماء الثلجي melt quenching على أفضل تجانس ممكن ثم اسقائها في مزيج من الماء الثلجي (technique) [12]. أخرجت بعد ذلك العينات وطحنت بواسطة مطحنة سيراميكية للحصول على العينات بشكل مسحوق. حيث تم تحضير العينات في مختبرات قسم الفيزياء بجامعة دمشق.

#### تحضير الأغشية الرقيقة:

أستخدمت منظومة التغشية عالية الخلاء 3SM200-JO3، تحت الضغط  $^{-5}$  سلطومة التغشية عالية الخلاء  $^{-5}$  سلطومت التخصير خمسة أغشية رقيقة للمركب  $^{-5}$  حيث وبمعدل ترسيب ( $^{-10}$ A $^{\circ}$ .s $^{-1}$ ) لتحضير خمسة أغشية رقيقة للمركب ( $^{-5}$ 00nm)، وبسماكة الأغشية المحضرة باستخدام بلورة من الكوارتز من النوع  $^{-5}$ 00nm) موجودة ضمن حجرة التبحير .

#### 2-2 الأجهزة المستخدمة وطريقة القياس:

<u>التوصيف البنيوي: جرت</u> عملية التوصيف البنيوي بتقانة انعراج الأشعة السينية (XRD)باستخدام جهاز انعراج الأشعة السينية المبينة من نوع 200 (Ital products ADP) (AFM) وضمن الشروط المبينة بالجدول (1)، وبمجهر القوة الذرية (AFM) طراز (easy scan 2 Flex AFM) صنع سويسرا وفق طريقة النقر (Tapping-mode).

الجدول (1) شروط قياس طيف الـ XRD للعينات المدروسة

$(A^{\circ})K_{\alpha 1}$	1.54060		
Tube anode	Cu		
Scan step size	0.020		
Scan step time	0.500 second		
Scan range	5-90		
Scan type	Continuous		

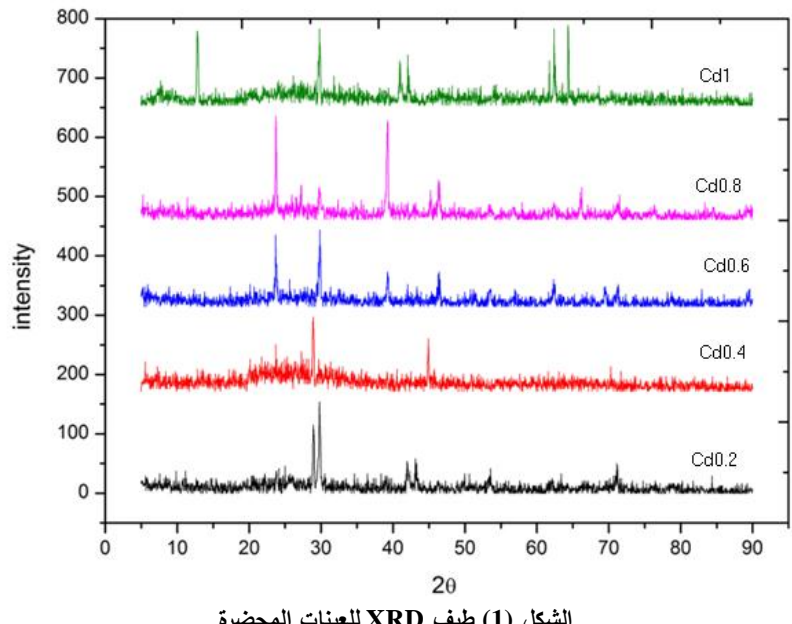
<u>−2</u> التوصيف الضوئي: استخدم مقياس الطيف (UV-Vis spectrometer carry 5000) لتسجيل أطياف النفاذية كتابع للطول الموجى ضمن المجال (400-1500nm).

# نتائج الدراسة البنيوية:

#### دراسة طيف الـ XRD:

إن الجمل الزجاجية التي أساسها التيليريوم هي صعبة التشكل بالطور الزجاجي (مقارنة مع الجمل الزجاجية التي أساسها السيلينيوم). لتحري تفاصيل ونتائج إضافة عنصر

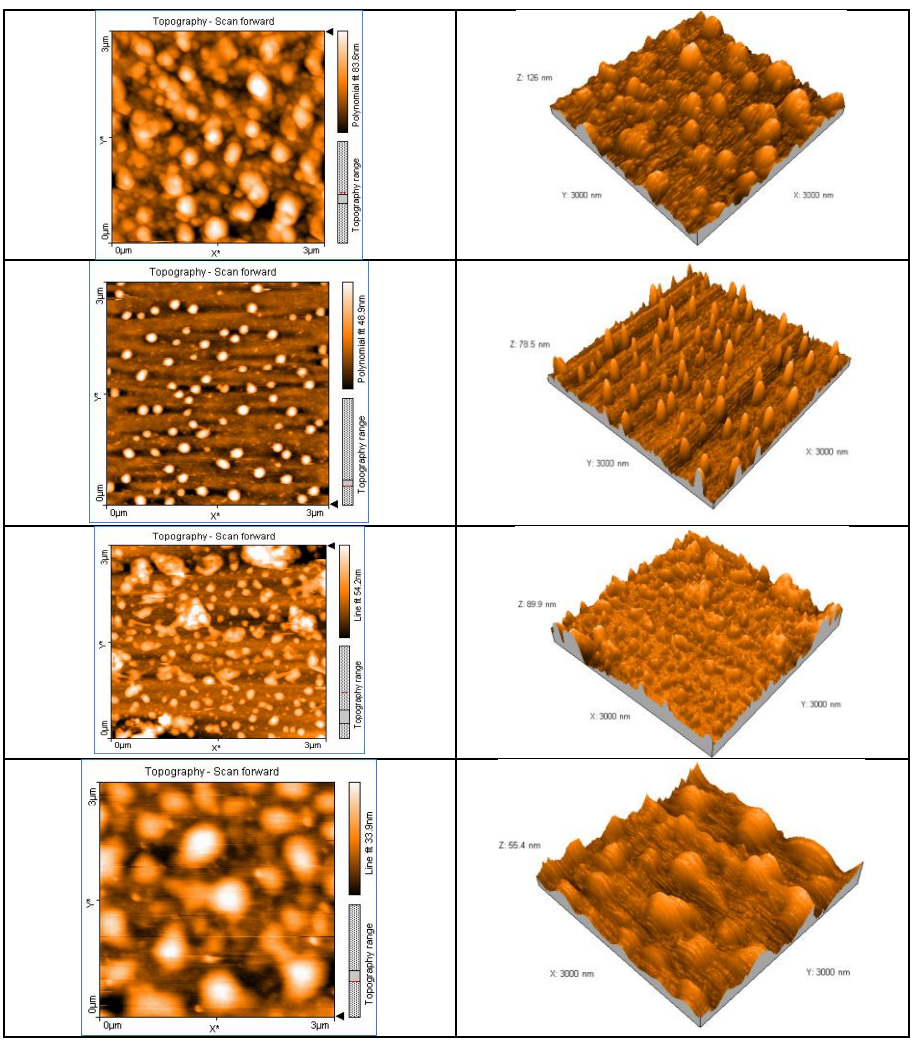
الكادميوم Cd الشبكة البنيوية للنظام الشالكوجيني الـ  $GeTe_{2-\chi}Cd_{\chi}$  الكادميوم وبواسطة تقنية XRD، فحص أولي للعينات المدروسة. يُظهر الشكل (1) طيف XRD للعينات المدروسة أنها متعددة التبلور (polycrystalline).



الشكل (1) طيف XRD للعينات المحضرة

# نتائج التصوير الضوئي بمجهر القوة الذرية:

تم أخذ صور ثنائية وثلاثية الأبعاد للأغشية المحضرة للمركب (GeTe<sub>2-x</sub>Cd<sub>x</sub>) كما هو موضح بالشكل (2)، حيث سماكة جميع العينات d=500nm



الشكل (2) صور AFM للعينات المحضرة

ويبين الجدول (2) تغير أقطاروارتفاع الحبيبات المقاسة بواسطة مجهر القوة الذرية بتغير التركيب وعرض المجال المحظور.

نلاحظ من الجدول (2) والشكل (2) ظهور حبيبات تتغير أقطارها وارتفاعاتها بحسب تغير التركيب.

من أجل العينة ذات التركيز x=0.6 لعنصر الكادميوم لم تظهر صورة واضحة للحبيبات في مجهر القوة الذرية بسبب عدم تغيير القوة الضوئية للمجهر.

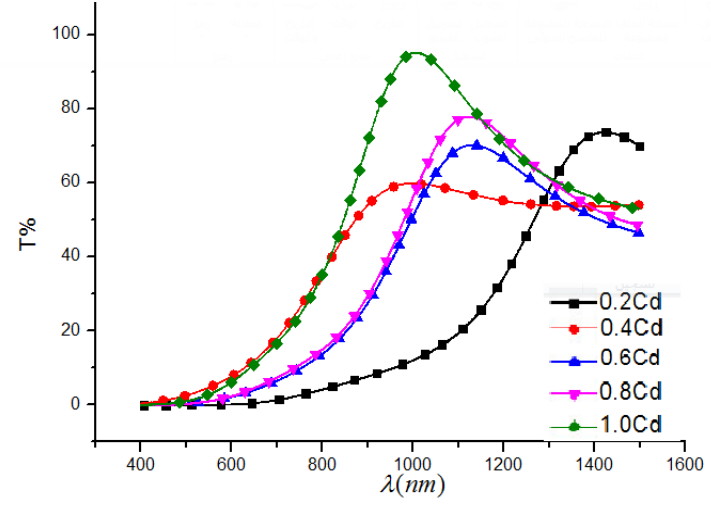
الجدول (2) قيم أقطار الحبيبات المقاسة

Composition	(2r)nm	$\mathbf{H}_{\mathbf{m}}(\mathbf{nm})$
التركيب	قطر الحبيبة	الارتفاع الوسطي للحبيبة
GeTe <sub>1.8</sub> Cd <sub>0.2</sub>	163	23
GeTe <sub>1.6</sub> Cd <sub>0.4</sub>	-	-
GeTe <sub>1.4</sub> Cd <sub>0.6</sub>	250	40
GeTe <sub>1.2</sub> Cd <sub>0.8</sub>	500	20
GeTeCd	200	37

## نتائج الدراسة الضوئية:

طيف النفوذية: سجلت عدة قياسات لنفوذية أغشية التركيب  $Ge\ Te_{2-x}Cd_x$  صمن شروط الورود الناظمي، يبين الشكل (3) طيف نفوذية العينات ضمن المجال (400-1600) الورود الناظمي، يبين الشكل (3)

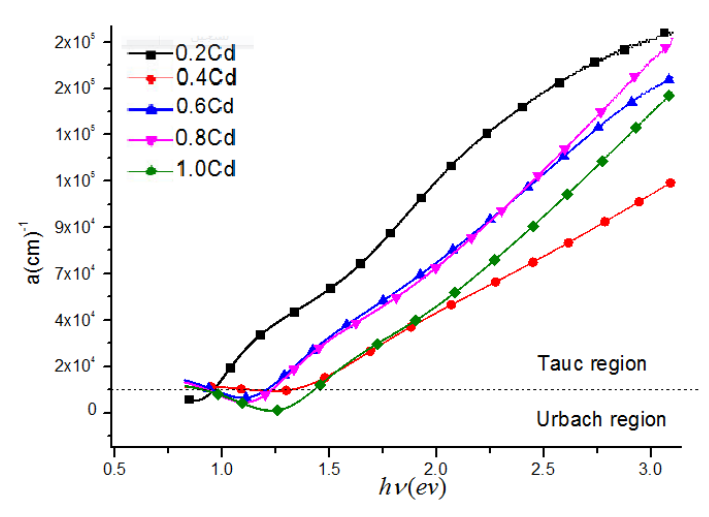
والذي يتضح منه أن هذه الأفلام لها نفوذية عالية في المجال الطيفي من 800 حتى nm 1400 تتراوح قيمتها الوسطية بين 60%حتى 97%.



الشكل (3) تابعية النفاذية بالنسبة للطول الموجى

### تحديد الثوابت الضوئية:

حافة امتصاص الأطوال الموجية القصيرة: يظهر الشكل (4) تابعية معامل الامتصاص بالنسبة لطاقة الفوتون الوارد عند الأطوال الموجية القصيرة للأغشية المدروسة. يلاحظ أنه بالإضافة المتزايدة لـ Cd يحدث انزياح حافة النفوذية الضوئية باتجاه الأطوال الموجية الموجية الأقل شدة، والذي نتج عن تابعية فجوة الطاقة للتركيب المدروس، حيث أن اضافة الكادميوم تؤدي إلى ازدياد عرض المجال المحظور. هذه الزيادة يمكن تفسيرها بما يسمى ازاحة (Bureshtain-Moss Shift) وذلك لأن المستويات القريبة من حزمة الناقلية تكون ممتلئة بالالكترونات، لذلك فإن الالكترونات تحتاج لطاقة أكبر للانتقال فيبدو وكأن فجوة الطاقة تزداد [13].



الشكل (4) تابعية معامل الامتصاص لطاقة الفوتون الوارد

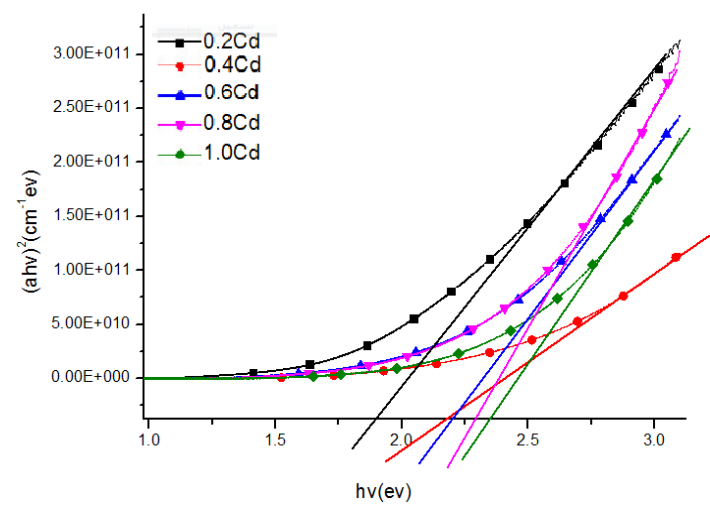
#### عرض المجال المحظور:

برسم تابعیة  $\alpha = f(hv)$ ، یمکننا تقسیمه مدروس، وحسب الشکل  $\alpha = f(hv)$ ، یمکننا تقسیمه لمنطقتین:

- منطقة القيم المرتفعة لمعامل الامتصاص: حيث  $\alpha(hv) \geq 10^4 \, cm^{-1}$  والعائدة للانتقالات بين الحالات الممتدة في كل من عصابتي التكافؤ والناقلية. يبين الشكل (5) تابعية مربع معامل الامتصاص  $(\alpha hv)^2$  لطاقة الفوتون الوارد (hv) على الأغشية المدروسة. إن القيم العالية لمعامل الامتصاص تقدم دليلاً على أن الانتقالات في الفجوة الطاقية هي من النوع المباشر [14]. من أجل كل تركيب مدروس تم حساب عرض الفجوة الطاقية بالموائمة الخطية في منطقة الطاقات العالية للجزء الأكثر استقامة من المنحني مع رض المجال المحظور هي نقطة نقاطع امتداد الجزء المستقيم لهذا المنحني مع

المحور (hv). والنتائج مبينة في الجدول (3) والشكل (5). نلاحظ تزايداً في قيم عرض المجال المحظور مع زيادة نسبة الكادميوم.

منطقة القيم المنخفضة لمعامل الامتصاص: حيث  $\alpha(hv) < 10^4 \, cm^{-1}$  والعائدة للانتقالات بين الحالات الممتدة في أحدى العصابات الطاقية والحالات المتموضعة في الذيل الأسي للحزمة الأخرى. إن عرض ذيول الحزمة  $E_u$  (طاقة أورباخ)يمكن حسابه بأخذ لوغارتم طرفي العلاقة (2)، ورسم (10 بدلالة hv حيث قيم  $E_u$  مبينة بالجدول (3). نلاحظ تناقصاً في قيم  $E_u$  وهذا مرده لازدياد تبلورالعينات المدروسة، فيما عدا قيمة  $E_u$  أجل  $E_u$ 0.2 ويمكن تفسير ذلك بازدياد حالة الفوضى والعشوائية أي أن ذرات الكادميوم Cd يمكن أن تدخل لمراكز الشبكة المضيفة  $E_u$ 1 منتجة روابط لا جسرية تؤدي إلى مزيد من اللاتوازن والعشوائية في بنيتها [15].



الشكل (5) تابعية مربع معامل الامتصاص بالنسبة لطاقة الفوتون الوارد

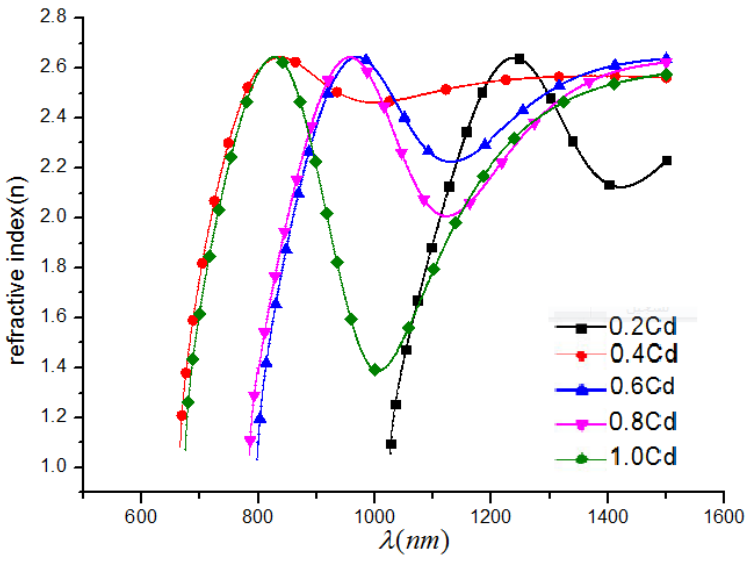
الجدول (3) قيم  $E_u$  ( $E_g$  قيم المحضرة

Composition	At %	$E_{g}$	$E_{u}$
	C d	(ev)	(ev)
GeTe <sub>1.8</sub> Cd <sub>0.2</sub>			0.11
	6.67	1.89	
$GeTe_{1.6}Cd_{0.4}$	12.22		0
	13.33	2.17	
$GeTe_{1.4}Cd_{0.6}$	20.00	2.10	0.21
	20.00	2.19	
$GeTe_{1.2}Cd_{0.8}$	26.67	2.20	0.13
G T G1	20.07	2.29	
GeTeCd	33.34		0.07
	20104	2.34	

قرينة الإنكسار: تمت دراسة تابعية قرينة الانكسار للأطوال الموجية ضمن المجال -500 المجال -500 اعتماداً على العلاقة[16]:

$$n = [4R/(R-1)^2 - K^2]^{1/2} - (R+1)/(R-1)....(3)$$

يبين الشكل (6) تابعية  $n=f(\lambda)$  لمختلف التراكيب المدروسة، حيث يتضح من هذا الشكل أن قرينة الانكسار تزداد بازدياد طول موجة الضوء الوارد.

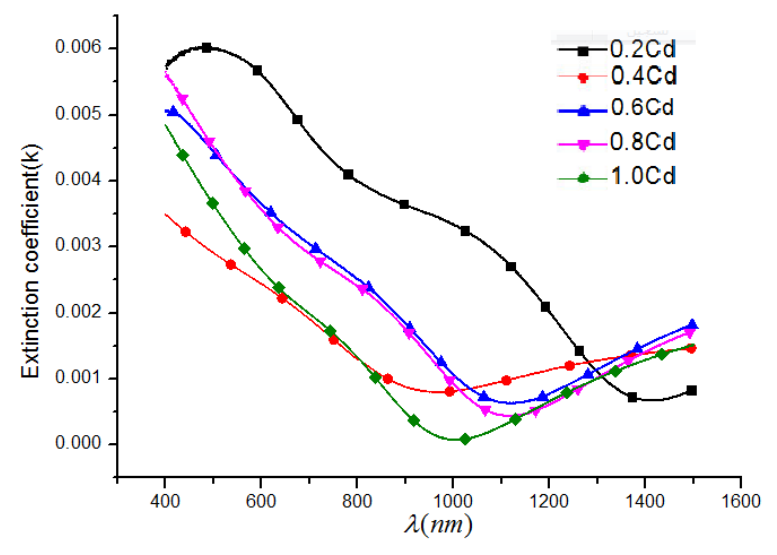


الشكل (6) تابعية قرينة الانكسار بالنسبة للطول الموجى

معامل التخامد: يبين الشكل (7) تغيرات معامل التخامد المحسوب من العلاقة [17]:

$$k = a \cdot \lambda / 4\pi$$
....(4)

بدلالة طول موجة الضوء الوارد على الأغشية المدروسة، يتضح من الشكل تتاقص معامل التخامد بزيادة الطول الموجي حتى القيمة 1000nm، ويعود ذلك للقيمة الكبيرة لمعامل الامتصاص في هذا المجال من الاطوال الموجية. كما يوضح الشكل أيضاً تتاقص معامل التخامد بزيادة تركيز اله Cd في العينات، ويبدي معامل التخامد سلوكاً مماثلاً لمعامل الامتصاص.



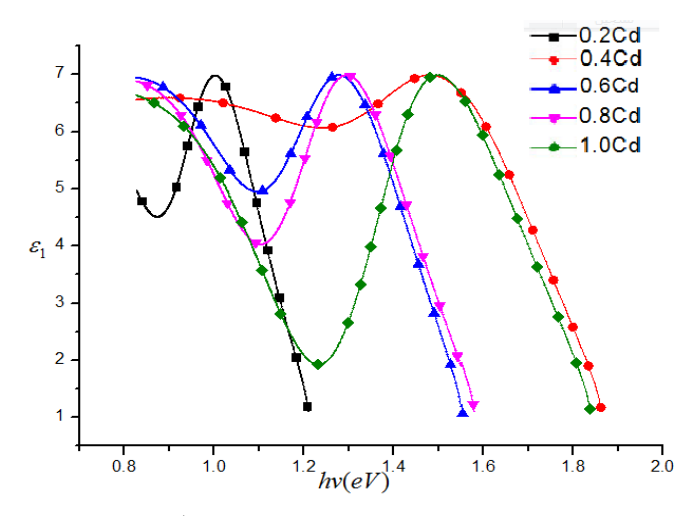
الشكل (7) تغيرات معامل التخامد مع الطول الموجي

ثابت العازلية: يظهر الشكل (8) والشكل (9) تغير كل من القسم الحقيقي ( $\varepsilon_1$ )، والتخيلي ( $\varepsilon_2$ ) لثابت العازلية بتغير طول موجة الضوء الوارد [18]. فقد تم حسابهما من العلاقات:

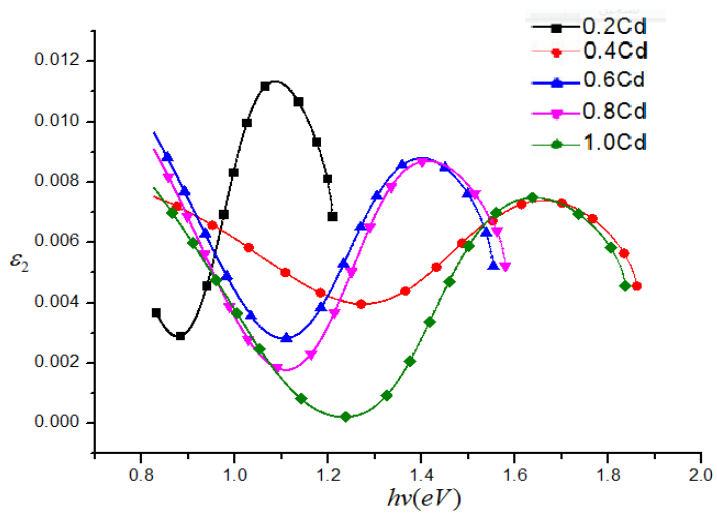
$$\varepsilon_1 = n^2 - k^2 \dots (5)$$

$$\varepsilon_2 = 2nk$$
 .....(6)

. الشكل المذكور أن  $arepsilon_1$  لهما نفس سلوك n و على التوالي التحظ من الشكل المذكور



الشكل (8) تغيرات القسم الحقيقي لثابت العزل مع طاقة الفوتون الوارد

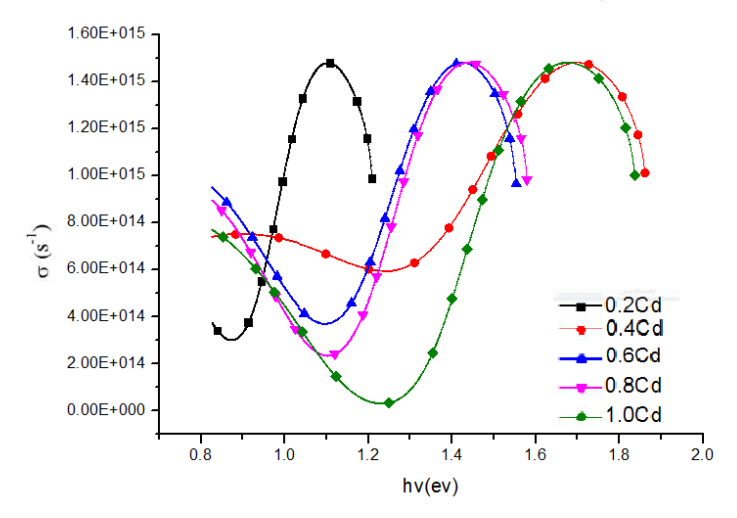


الشكل (9) تغيرات القسم التخيلي لثابت العزل مع طاقة الفوتون الوارد.

الناقلية الضوئية: حسبت الناقلية الضوئية (والتي أبعادها أبعاد تردد) لمادة الأغشية المدروسة باستخدام العلاقة [19]:

$$\sigma = \frac{\alpha nc}{4\pi}....(7)$$

حيث معامل الامتصاص، n قرينة الانكسار، عسرعة الضوء في الخلاء. تعتمد الناقلية الضوئية اعتماداً مباشراً على معامل الامتصاص وقرينة الانكسار. يظهر الشكل (10) أن الناقلية الضوئية ازدادت بحدة عند القيم العالية للطاقة، وهذه الحدة تعود للقيم التي تمتلكها قرينة الانكسار ومعامل الإمتصاص في هذا المجال الطاقي. نلاحظ أيضاً تتاقصاً في قيم الناقلية الضوئية بازدياد نسبة الكادميوم ويمكن تفسير ذلك بالاعتماد على (نموذج كثافة الحالات) حيث أنه بازدياد فجوة الطاقة تتناقص الناقلية الضوئية [20].



الشكل (10) تغيرات الناقلية الضوئية كتابع لطاقة الفوتون الواردة

#### الإستنتاجات:

- 1- أظهرت طيوف الـ XRD أن زيادة تركيز عنصر الكادميوم في التركيب المدروس يؤدي إلى زيادة البلورة.
- -2 من أجل التركيز 0.4 وكما هو واضح من أطياف الـ XRD وجود طور أمورفي ولو بنسبة ضعيفة، أدى إلى عشوائية في بنية الغشاء الرقيق وبالتالي شذوذ في سلوك هذا التركيب عن باقي التراكيب المدروسة، حتى أننا لم نتمكن من أخذ صور واضحة لسطح العينة باستخدام مجهر القوة الذرية ويظهر هذا الشذوذ بشكل واضح من خلال قيم قرينة الإنكسار المحسوبة لجميع الأطياف.
- 3- يتناقص عرض المجال المحظور المحسوب في منطقة الامتصاص الضعيف لايرباخ بسبب ازدياد نسبة البلّورة بزيادة تركيز الكادميوم.

#### **References:**

- [1] J. Rocca, M. Erazu, M. Fontana, B. Arcondo, (2009) J. Non-Cryst. Solids.V. 355, p.2068.
- [2] Abd Elnaeim, A.M., Aly, K.A., Afify,N, and A.M. Abousehlly. (2010) ,J. Alloys Compd. V.491,p.85.
- [3] V. Wiedenhof, I. Friedrich, S. Ziegler, M. Wuttig, (2001). J. Applied Physics 89 (6), 3168.
- [4] J. Feinleib, J. de Neufville, S.C. Moss, S.R. Ovshinsky, Rapid Reversible Light- Induced Crystallization of Amorphous Semiconductors, Appl. Phys. Lett., 18 (1971) 254.
- [5] M.M. Wakkad, E.K. Shokr, S. H. Mohamed, (2000). Optical and calorimetric studies of Ge-Sb-Se glasses, J. Non Crystalline Solids, 265.
- [6]K.S. Sangunni & E.S.R. Gopal, (2000). Determination of thermal diffusion length in bismuth doped chalcogenide glasses by Photoacoustic technique, J Optoelect. & Advanced Materials, 91-94.
- [7]Fadel ,M., Sedeek, K. and N.A. Hegab, . 1998. Al Azhar Bull science 9: 385.
- [8] Elliot. S.R. (1990). "Physics of Amorphous Materials", *Essex: Longman Group Limited*, New York.
- [9] Franz Urbach. (1953). "The Long-Wavelength Edge of Photographic Sensitivity and of the Electronic Absorption of Solids" *Physical Review*. 92: 1324–1324.
- [10] Cohen. M. H., Soukoulis. C. M., Economou. E. N., Taylor. P.C. and Bishop. S. Eds. (1984). "Optical Effects in Amorphous Semiconductors" *AIP ConJ Proc.* 120, 371.
- [11] Mott. N.F., Davis. E.A. (1979). "Electronic Processes in Non-Crystalline Materials" *Clarendon Press*, Oxford.
- [12] Wei Lu and Charles. M. L. (2006). "Semiconductor nanowires" *J.Phys.* D: *Appl.phys.* 39, 190.
- [13] Ferro, R., and Rodriguez, (2000) J.A."Study of Some Optical Properties of CdO:F ThinFilms", Phys. State. Sol. (b), V.220, P.299.

- [14] Babkair, S.S., (2010). "Charge Transport Mechanisms and Device Parameters of CdS/CdTe Solar Cells Fabricated by Thermal Evaporation" Sci., Vol. 22, No. 1, pp 21-33.
- [15] Kotkata, M.F., El-Fouly, M.H., Fayek, S.A., El-Hakim, S.A. (1986). The effect of Tl addition on the electrical and thermal transport properties of amorphous As2Se3. *Semiconductor Science and Technology*. 1: 313.
- [16] Gauthier, B. (1998). Simultaneous determination of the thickness and opticalconstants of weakly absorbing thin films. *Measurement Science and Technology*. 9: 485–487.
- [17] Gushterova. P., Sharlandjiev. B., S. A., Phama. M. (2005). On the determination of the opticalconstants Of Very Thin (L/50) Films. *Journal of Opto -electronics and Advanced Materials*. 7(1):305 308.
- [18] Reitter, A. M., Sreeram, A. N., Varshneya, A. K., Suiler, D. R. (1992). Modified preparation procedure for laboratory melting of multicomponent chalcogenide glasses. *Journal ofNon-Crystalline Solids*. 139: 121.
- [19] Wemple, S. H., and DiDomenico, M. M. (1971). *Physical Review*. 3: 1338-1351.
- [20] Tintu, R., Sulakhna, K., Saurav, K. V. Nampoori, P. N., Radhakrishnan, P., and Sheenu Thomas. (2010). Ge28Se60Sb12/PVA Composite Films For Photonic Application. *Journal of Non-Oxide Glasses*. 2: 167-174.